

Простая квантовая схема для атаки, демонстрирующей
уязвимость квантовой криптографии с
фазово-временным кодированием

Д.А.Кронберг

Математический институт им.В.А.Стеклова РАН

7 июня 2023 г.

- Квантовая криптография, достоинства и недостатки
- Протокол с фазово-временным кодированием и атака на него
- Полемика с разработчиками и квантовая схема
- Почему появилась уязвимость и предложения по подходу к обоснованию стойкости протоколов КРК

Квантовая криптография: основы

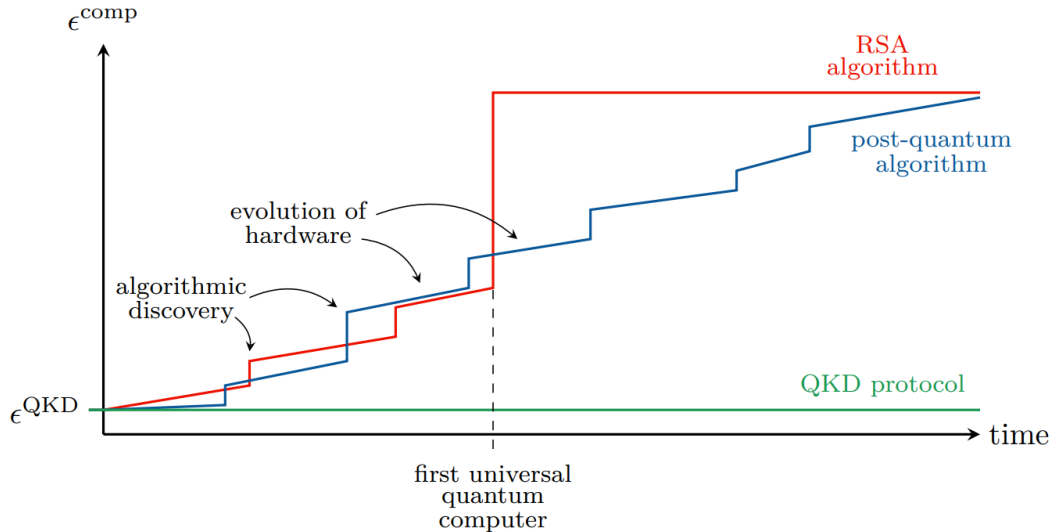
- Основная задача — распределение секретного ключа между удаленными пользователями (Алисой и Бобом) без вычислительных и технологических предположений о перехватчике (Еве)
- Ключевое преимущество квантовой криптографии — возможность математического доказательства стойкости. Это главный теоретический элемент протокола квантового распределения ключей
- Стойкость в квантовой криптографии основана на том, что любое измерение — это взаимодействие с системой, и невозможно измерить передаваемые состояния, не внося в них помехи
- Доказательство стойкости — это формула для длины секретного ключа в зависимости от наблюдаемых параметров и утверждение, что если ключ после коррекции ошибок сжимать в соответствии с этой формулой, то он будет обладать нужными характеристиками (близок к идеальному ключу)
- Протокол BB84 был предложен в 1984 году, первое признанное доказательство стойкости появилось лишь в 2000 году

Квантовая криптография: чувствительность к аппаратуре

- Доказательство стойкости в квантовой криптографии возможно, когда зафиксирована математическая модель оборудования участников
- Доступное оборудование не обязательно в точности соответствует математическому описанию, и это может создать ряд уязвимостей
- Также противник может целенаправленно наносить урон оборудованию, чтобы заставить его работать не так, как планируют легитимные пользователи
- Недостаток квантовой криптографии — чувствительность к аппаратуре
- Классические криптографические протоколы также чувствительны к аппаратуре
- Возможен подход к квантовой криптографии, в котором стойкость не зависит от детекторов как самой уязвимой части аппаратуры (Measurement device independent, MDI QKD), а также без зависимости от аппаратуры вообще (DI QKD). В этом случае протоколы сами по себе гарантируют, что оборудование работает должным образом
- Можно выделить атаки на состояния (против которых возможно доказательство стойкости) и атаки на оборудование, которые в стандартном подходе решаются сертификацией оборудования

Квантовая криптография: вечная стойкость

Вечная стойкость распределяемых ключей (everlasting security): если противник нашел новые способы использовать несовершенство оборудования, это не способно уменьшить стойкость уже распределенных ключей



Квантовая криптография: преимущества и недостатки

Преимущества

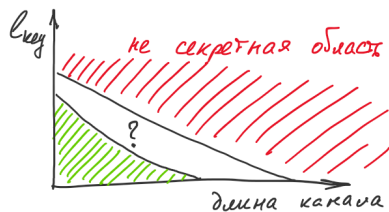
- Возможность математического доказательства стойкости
- Вечная стойкость распределяемых ключей

Недостатки

- Хрупкость и недостаточная изученность оборудования
- Сложность доказательства стойкости и возможность ошибок в нем

Верхние и нижние оценки криптографической стойкости

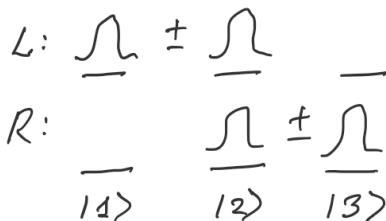
- Практически доступные линии связи имеют затухание, и перехватчик может использовать его для построения более эффективных атак
- С учетом затухания в линии связи доказательство стойкости представляет собой нижнюю оценку скорости генерации секретного ключа
- Явно построенная атака — верхняя оценка скорости генерации ключа
- Возможен зазор между верхними и нижними оценками, который говорит о возможности улучшения какой-либо из оценок
- Построить явную атаку — более сложная задача, чем найти пробелы в доказательстве стойкости
- Корректность работы квантового компьютера легко проверить, с квантовой криптографией сложнее: проверка доказательства стойкости и построение атак может быть сложной задачей



Протокол с фазово-временным кодированием

Протокол с фазово-временным кодированием использует три временных окна $\{|1\rangle, |2\rangle, |3\rangle\}$, что при отправке однофотонных импульсов отвечает трёхмерному пространству

$$\begin{aligned} |0_L\rangle &= \frac{1}{\sqrt{2}}(|1\rangle + |2\rangle), & |0_R\rangle &= \frac{1}{\sqrt{2}}(|2\rangle + |3\rangle), \\ |1_L\rangle &= \frac{1}{\sqrt{2}}(|1\rangle - |2\rangle), & |1_R\rangle &= \frac{1}{\sqrt{2}}(|2\rangle - |3\rangle). \end{aligned} \quad (1)$$



- На приемной стороне проводится измерение в левом или правом базисе, эти измерения описываются соответствующими наблюдаемыми (разложениями единицы)

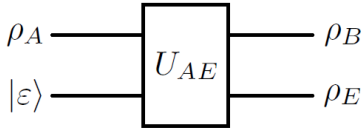
$$\begin{aligned} M_L &= \{|0_L\rangle\langle 0_L|, |1_L\rangle\langle 1_L|, |3\rangle\langle 3|\}, \\ M_R &= \{|1\rangle\langle 1|, |0_R\rangle\langle 0_R|, |1_R\rangle\langle 1_R|\}. \end{aligned} \quad (2)$$

- Неформально стойкость протокола следует из того, что если перехватчик проведет такое же измерение, но не угадает базис, он будет отправлять контрольные отсчеты: $|3\rangle$ в левом базисе и $|1\rangle$ в правом

S. N. Molotkov, "Tight finite-key analysis for two-parametric quantum key distribution", *Laser Phys. Lett.*, 16:3 (2019), 035203.

С. Н. Молотков, «О стойкости систем квантовой криптографии с фазово-временным кодированием к атакам активного зондирования», *ЖЭТФ*, 158:6(12) (2020), 1011–1031.

Протокол с фазово-временным кодированием



Обоснование стойкости протокола строится на рассмотрении унитарного преобразования перехватчика над исходным состоянием и вспомогательной системой (анциллой), с представлением Стайнспринга:

$$\begin{aligned}\Phi_{A \rightarrow B}[\rho] &= \text{Tr}_E \left[U_{AE}(\rho_A \otimes |\varepsilon\rangle\langle\varepsilon|_E)U_{AE}^\dagger \right], \\ \Phi_{A \rightarrow E}[\rho] &= \text{Tr}_B \left[U_{AE}(\rho_A \otimes |\varepsilon\rangle\langle\varepsilon|_E)U_{AE}^\dagger \right].\end{aligned}\quad (3)$$

- Проведена оценка информации, извлекаемой из состояний перехватчика ρ_E , в зависимости от наблюдаемых при измерении ρ_B параметров $\{Q, \zeta\}$, что ведет к формуле длины секретного ключа

$$l_{\text{key}}^{SP}(\zeta, Q) = 1 - h_2(Q) - h_2\left(\frac{\zeta}{1-\zeta}\right). \quad (4)$$

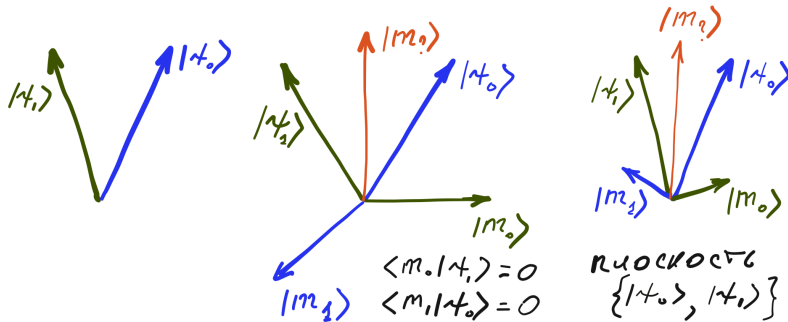
- Она проистекает из формулы Деветака-Винтера: $l_{\text{key}} = I(A : B) - I(A : E)$
- Информация противника оценивается сверху через $h_2\left(\frac{\zeta}{1-\zeta}\right)$, в то время как информация легитимных пользователей

$$I(A : B) = 1 - h_2(Q)$$

соответствует бинарному симметричному каналу связи с ошибкой Q .

Атака на протокол: увеличение размерности

- Ошибка доказательства стойкости в том, что не учтены атаки с затуханием, которые математически соответствуют более высокой размерности пространства выхода.
- Это можно увидеть на примере безошибочного различия состояний (USD)



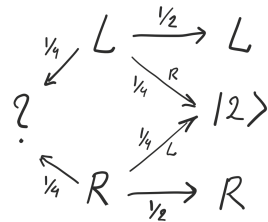
- При действии квантового канала $\rho \rightarrow \Phi[\rho]$ величина Холево состояний, отвечающая максимально доступной классической информации, монотонна
- При постселективных преобразованиях монотонность не обязательно выполняется, и информация может быть выше границы Холево

Атака на протокол: различие базисов

Рассмотрим квантовую наблюдаемую (разложение единицы), которая различает левые и правые базисы протокола:

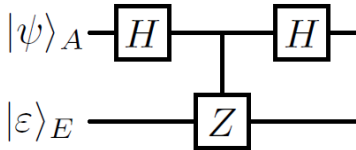
$$M_L = \frac{1}{2} \begin{pmatrix} 1 & 0 & 0 \\ 0 & 1 & 0 \\ 0 & 0 & 0 \end{pmatrix}, \quad M_R = \frac{1}{2} \begin{pmatrix} 0 & 0 & 0 \\ 0 & 1 & 0 \\ 0 & 0 & 1 \end{pmatrix}, \quad M_? = \frac{1}{2} \begin{pmatrix} 1 & 0 & 0 \\ 0 & 0 & 0 \\ 0 & 0 & 1 \end{pmatrix}$$

$$p(L|L) = \text{Tr} M_L \rho_L = \frac{1}{2}, \quad p(R|L) = \frac{1}{4}, \quad p(?|L) = \frac{1}{4}.$$



- В случае успеха и верного результата соответствующий квантовый канал $\rho_L \rightarrow \frac{\sqrt{M_L} \rho_L \sqrt{M_L}}{\text{Tr} M_L \rho_L}$ оставляет состояния левого и правого базиса без изменения; при ошибочном результате состояния переходят в $|2\rangle$; с вероятностью $1/4$ возможна неудача (результат «?»)
- В итоге, если возможна блокировка $1/4$ части посылок, перехватчик может различить базисы с вероятностью правильного ответа $2/3$, что значительно выше вероятности $1/2$ при простом угадывании
- Существует наблюдаемая, которая различает левый и правый базисы без ошибки (но с возможностью неудачи), однако такая наблюдаемая портит состояния внутри базиса

Атака на протокол: различие состояний



Пусть Ева применяет простую квантовую схему из условного фазового сдвига и преобразования Адамара. Анцилла Евы при параметре γ находится в состоянии

$$|\varepsilon\rangle_E = \cos \gamma |1\rangle_E + \sin \gamma |2\rangle_E, \quad \gamma \in [0, \frac{\pi}{4}] \quad (5)$$

- Схема действует на состояния следующим образом:

$$\begin{aligned} |0_L\rangle_A \otimes |\varepsilon\rangle_E &\rightarrow |0_L\rangle_A \otimes (\cos \gamma |1\rangle_E + \sin \gamma |2\rangle_E), \\ |1_L\rangle_A \otimes |\varepsilon\rangle_E &\rightarrow |1_L\rangle_A \otimes (\cos \gamma |1\rangle_E - \sin \gamma |2\rangle_E), \\ |2\rangle_A \otimes |\varepsilon\rangle_E &\rightarrow \sin \gamma |1\rangle_A \otimes |2\rangle_E + \cos \gamma |2\rangle_A \otimes |1\rangle_E, \end{aligned} \quad (6)$$

- Это копирование состояний в память Евы, где они становятся частично различимыми. При этом состояние $|2\rangle$ частично переходит в левое временное окно $|1\rangle$, что приводит к контрольным временным отсчетам (ненулевой параметр ζ).

Скорость генерации ключа

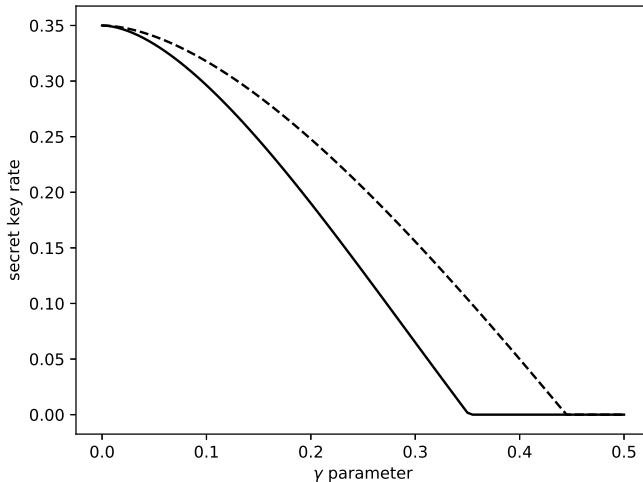
- При неверном определении базиса построенная атака приводит к отсчету в контрольном временном окне $|1\rangle$ с вероятностью $\sin^2 \gamma$, также оно может привести к информационному отсчету с вероятностью $\cos^2 \gamma$, и в этом случае битовая ошибка будет возникать в половине посылок
- Вероятность неверного определения базиса Евой равна $\frac{1}{3}$, что ведет согласно формуле разработчиков (4) к

$$l_{\text{key}}(\gamma) = 1 - h_2\left(\frac{1}{6}\right) - h_2\left(\frac{\sin^2 \gamma}{3 - \sin^2 \gamma}\right). \quad (7)$$

- С точки зрения Евы, с вероятностью $\frac{2}{3}$ базис был угадан верно, и информация Евы дается величиной Холево от чистых состояний $\cos \gamma|1\rangle \pm \sin \gamma|2\rangle$ (она равна $h\left(\frac{1 - \cos 2\gamma}{2}\right) = h(\sin^2 \gamma)$), откуда имеем для разности информации легитимных пользователей и перехватчика

$$l_{\text{key}}^{\text{attack}}(\gamma) = 1 - h_2\left(\frac{1}{6}\right) - \frac{2}{3}h_2(\sin^2 \gamma). \quad (8)$$

Скорость генерации ключа



Скорость генерации секретного ключа в зависимости от параметра атаки γ согласно построенной атаке (сплошная линия), а также согласно доказательству стойкости протокола (штриховая линия)

Область на графике, соответствующая $\gamma \in [0.357, 0.452]$, — это значения γ , при которых противнику известен весь ключ. В то же время согласно формуле скорости генерации ключа, ключ ненулевой, то есть легитимные пользователи считают, что сгенерировали полностью секретный ключ.

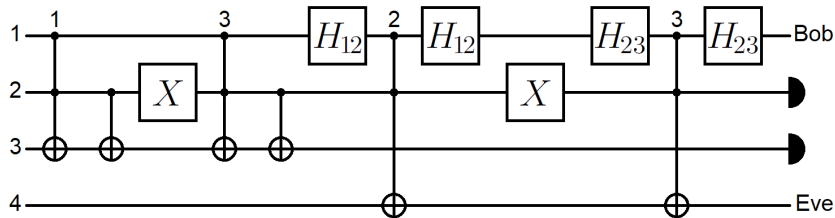
Построение атаки: выводы

- Уязвимость связана с ошибкой в доказательстве стойкости, которая заключается в рассмотрении в качестве самой общей стратегии перехватчика унитарного преобразования, действующего на паре трехмерных пространств Алисы (натянутого на векторы $\{|1\rangle, |2\rangle, |3\rangle\}$) и Евы
- При наличии затухания в линии связи размерность пространства на приемной стороне увеличивается на единицу, и дополнительное измерение соответствует потере сигнала
- Был построен пример конкретного унитарного преобразования, которое более эффективно для перехватчика, чем унитарное преобразование на паре трехмерных пространств, рассмотренное в работах по доказательству стойкости
- Эта же ошибка встречается в ряде других работ с обоснованием стойкости протоколов квантовой криптографии, в частности, протокола на геометрически однородных состояниях и более ранних версий протокола с фазово-временным кодированием
- При использовании ослабленного лазерного излучения вместо однофотонных посылок протокол теряет стойкость уже начиная со сколь угодно малой длины линии связи, виной тому неверное использование GLLP-подхода оценки скорости генерации ключа, разработанного для протокола BB84

Реакция разработчиков протокола

- Статья про уязвимость протокола была отклонена на основании рецензии, где говорится о высокой сложности данной атаки: «Любую умозрительную атаку непосредственно на квантовые состояния нужно всерьез принимать в расчет только в том случае, если такая атака физически реализуема. Предлагаемая атака (физическая реализация операторов A_L , A_R , A_T) требует неразрушающего измерения состояний $|0_L, 1_L\rangle\langle 0_L, 1_L|$ в левом базисе (оператор A_L) и для состояний $|0_R, 1_R\rangle\langle 0_R, 1_R|$ в правом базисе (оператор A_R). $\langle \dots \rangle$ такое неразрушающее измерение практически нереально.»
- Исходные статьи при этом не содержали ссылок на сложность тех или иных атак: утверждалась стойкость против *самой общей* атаки: «Наиболее общая атака подслушивателя на однофотонные состояния сводится к унитарной атаке, которая строится явно. $\langle \dots \rangle$ Наиболее общей атакой на однофотонные состояния является унитарная атака (9)–(11)»
- Если же говорить о сложности атак, то аргумент рецензии был таким: «атака похожа на PNS-атаку. Мы в другой статье приводили пример PNS, это была сложная реализация, значит, PNS-атака сложна в реализации. Значит, ни PNS-атаку, ни эту атаку не надо рассматривать. Значит, работу публиковать не следует.»
- Однако, все утверждения в пункте выше неверные, и сходство атаки с PNS не означает сложности в её реализации

Квантовая схема предложенной атаки



- Предложенная схема требует квантового компьютера с тремя дополнительными кубитами, и шести нетривиальных квантовых операций
- Проектор, про который разработчиками утверждалась сложность, реализуется с помощью модификации CNOT («контролируемого НЕ»): если система в состоянии $|3\rangle$, анцилла должна измениться (для A_L), иначе это тождественное преобразование

$$A_L = \begin{pmatrix} 1 & 0 & 0 \\ 0 & 1 & 0 \\ 0 & 0 & 0 \end{pmatrix}, \quad A_T = \begin{pmatrix} 0 & 0 & 0 \\ 0 & 0 & 0 \\ 0 & 0 & 1 \end{pmatrix}, \quad CNOT_3: \begin{array}{l} |3\rangle|0\rangle \rightarrow |3\rangle|1\rangle, \\ |3\rangle|1\rangle \rightarrow |3\rangle|0\rangle. \end{array}$$

- Другие операции отвечают вероятностному применению данного преобразования, поскольку перед проектором стоит коэффициент $\frac{1}{2}$
- Нижние оценки сложности операции от разработчиков неверны

Подход к обоснованию стойкости квантовой криптографии

Классическая криптография



Подход к обоснованию стойкости квантовой криптографии

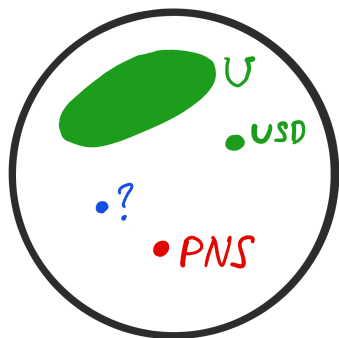
Классическая криптография



Квантовая криптография



Подход к обоснованию стойкости квантовой криптографии



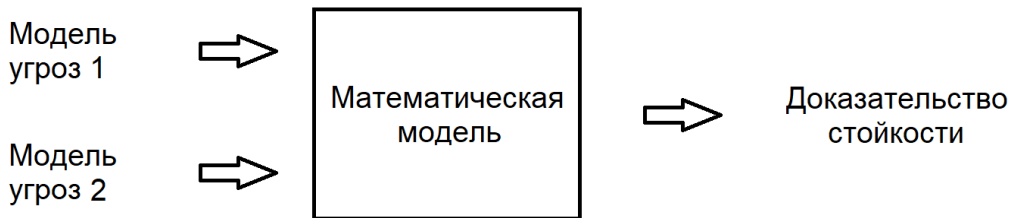
Подход с перечислением возможных атак перехватчика неудачен, так как нельзя перечислить всё континуальное множество возможных атак; любая категоризация будет условной

- Не атака унитарным преобразованием*: другое пространство
- Не атака безошибочным различением состояний (USD): есть ошибка, и сохраняется «квантовость» состояний
- Не PNS-атака: работает в однофотонном случае, нет операции подсчета количества фотонов

- Критика атаки «задним числом» возможна, но не должна сбивать с толку и оправдывать ошибки разработчиков, иначе выходит «мы доказали стойкость против всех атак¹»
- От разработчиков поступил новый комментарий на статью, где говорится, что атака все равно похожа на PNS-атаку, поэтому не реализуема, теперь говорится о сходстве операции в многофотонном случае.

¹Кроме тех, которые просмотрели

Предлагаемый подход к обоснованию стойкости



- Перечисление атак *на оборудование* уместно при формулировании математической модели, для которой остается актуальным требование строгого доказательства стойкости
- Такой подход сделает невозможным нахождение уязвимостей в смысле атак *на квантовые состояния*, которое произошло в данном случае
- Подход использует одно из основных преимуществ квантовой криптографии: возможность строгого доказательства стойкости против *всех* атак на состояния

История отношений с разработчиками

Исследование	Статьи	Опровержения
Протокол КРК на чистых геометрически однородных когерентных состояниях	Письма в ЖЭТФ, 95(6), 361–366 (2012) Письма в ЖЭТФ, 101 (8), 637–643 (2015) Письма в ЖЭТФ, 105 (9), 570–576 (2017)	LJM 41, 2332-2337 (2020) КЭ 51(10), 928-937 (2021)
Критика метода обманных состояний	ЖЭТФ, 155(4), 636-644 (2019) ЖЭТФ 156(8), 379-380 (2019)	УФН 191(1), 93-109 (2021) ЖЭТФ 161(5), 627-630 (2022)
Протокол КРК на геометрически однородных когерентных состояниях с фазовой рандомизацией	PRA 100(4), 042329 (2019)	PRA 104(2), 026401 (2021)
Протокол КРК с фазово-временным кодированием	LPL 16(3), 035203 (2019) ЖЭТФ 158(6), 1011-1031 (2020)	ТМФ 214(1), 140-152 (2023)

О СТОЙКОСТИ СИСТЕМ КВАНТОВОЙ КРИПТОГРАФИИ С ФАЗОВО-ВРЕМЕННЫМ КОДИРОВАНИЕМ К АТАКАМ АКТИВНОГО ЗОНДИРОВАНИЯ

*С. Н. Молотков**

*Институт физики твердого тела Российской академии наук
142432, Черноголовка, Московская обл., Россия*

*Академия криптографии Российской Федерации
121552, Москва, Россия*

*Центр квантовых технологий, Московский государственный университет им. М. В. Ломоносова
119899, Москва, Россия*

Поступила в редакцию 11 мая 2020 г.,
после переработки 11 мая 2020 г.
Принята к публикации 3 июля 2020 г.

Статья длиной в 21 страницу была отрецензирована и переработана за 1 день

- Проверка корректности работы систем квантового распределения ключей — нетривиальная задача
- Доказательство стойкости — ключевой теоретический элемент, и ошибки в этой части делают всю дорогостоящую разработку бесполезной: возможна явная атака, которая дает противнику информацию о ключе
- Подход разработчиков к доказательству стойкости через построение оптимального унитарного преобразования некорректен из-за ошибок в размерности пространства
- Подход к сертификации через «модель угроз нарушителя → обоснование стойкости» уместен для формулирования математической модели с учетом возможных атак на оборудование, но не для доказательства стойкости против атак на квантовые состояния

Работа выполнена при поддержке гранта РФФИ (проект 19-11-00086)

Спасибо за внимание!